

Návrh a Konstrukce Antén

A0M17NKA

Elektricky malé antény I. Principální limity

Milan Polívka
ČVUT v Praze, FEL
B2: 639, I.2270
polivka@fel.cvut.cz

zima 2023/24



Osnova

- Motivace
- Definice elektricky malých antén
- Činitel jakosti Q a šířka pásma BW
- Principiální omezení Q elektricky malých antén
 - přehled vybraných přístupů
- Principiální omezení zisku
- Topologie efektivních malých antén
- Shrnutí

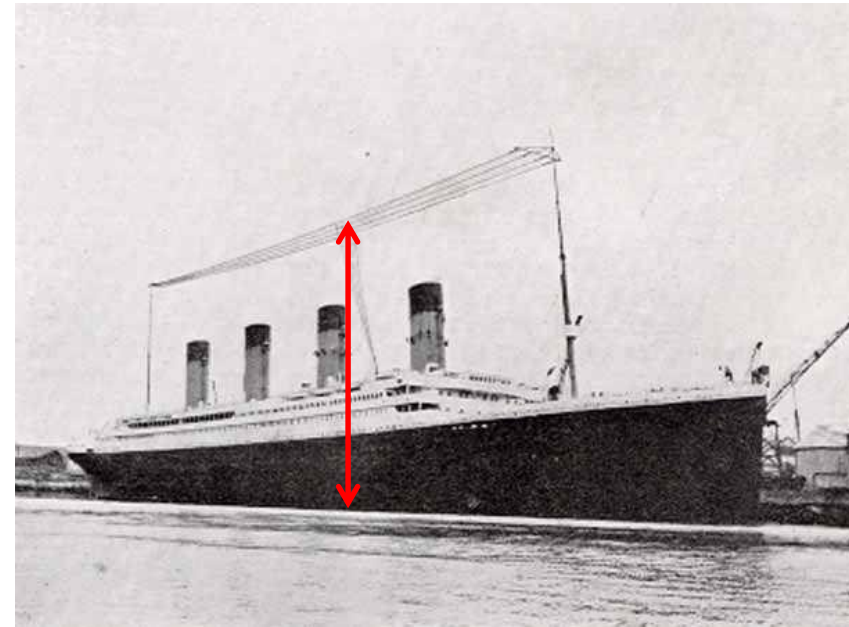
Motivace

Kdysi (Titanic, 1912) ..

- Fyzicky velké avšak el. malé antény pro přenos signálu v pásmu kHz vln

$$f = 500 \text{ kHz } (\lambda = 600 \text{ m})$$

$$h \sim 60 \text{ m nad vodní hladinou } (h/\lambda = 1/10)$$



Dnes (20xx) ..

- Miniaturizované antény v pouzdrech malých přenosných bezdrátových zařízení (mobilní telefony, notebooky, USB klíčenky, ..)
- Umístění antén na DPS: integrace v blízkosti součástek a vodivých ploch



Definice elektricky malých antén

Wheeler (1947) - elektricky malá anténa je taková, jejíž **největší rozměr** je **menší než** „radián-délka“ $\lambda/2\pi$ (*radian-length*)

$$2a < \lambda/2\pi \text{ tj. } a < \frac{\lambda}{4\pi} \left(\sim \frac{\lambda}{12} \right)$$

$$\Rightarrow ka < 0,5$$

$k = 2\pi/\lambda$ - vlnové číslo,

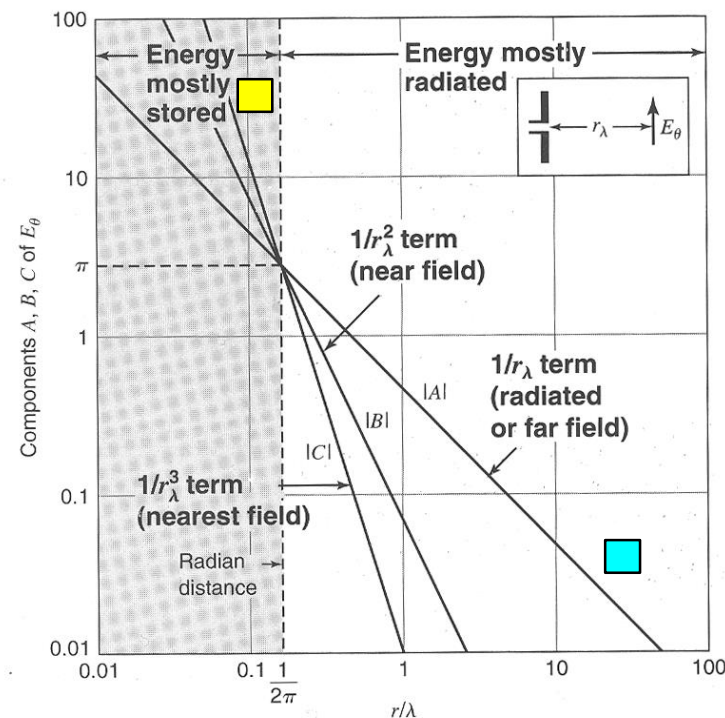
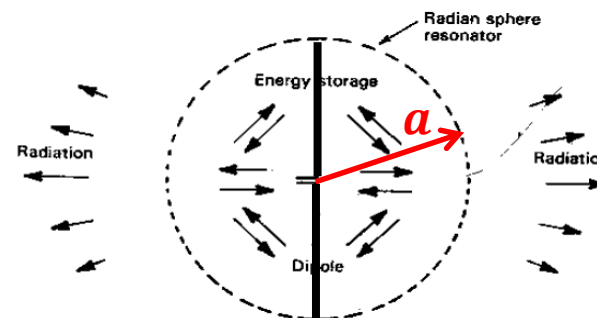
a - poloměr koule opsané anténě

Složky intenzit **elektrického** a **magnetického** pole el. dipólu (teorie EM pole):

$$E_r = \frac{2}{\omega\epsilon} \cos\theta \left(\frac{j}{r^2} + \frac{1}{kr^3} \right) e^{-jkr}$$

$$E_\theta = \frac{1}{j\omega\epsilon} \sin\theta \left(-\frac{jk}{r} - \frac{1}{r^2} + \frac{j}{kr^3} \right) e^{-jkr}$$

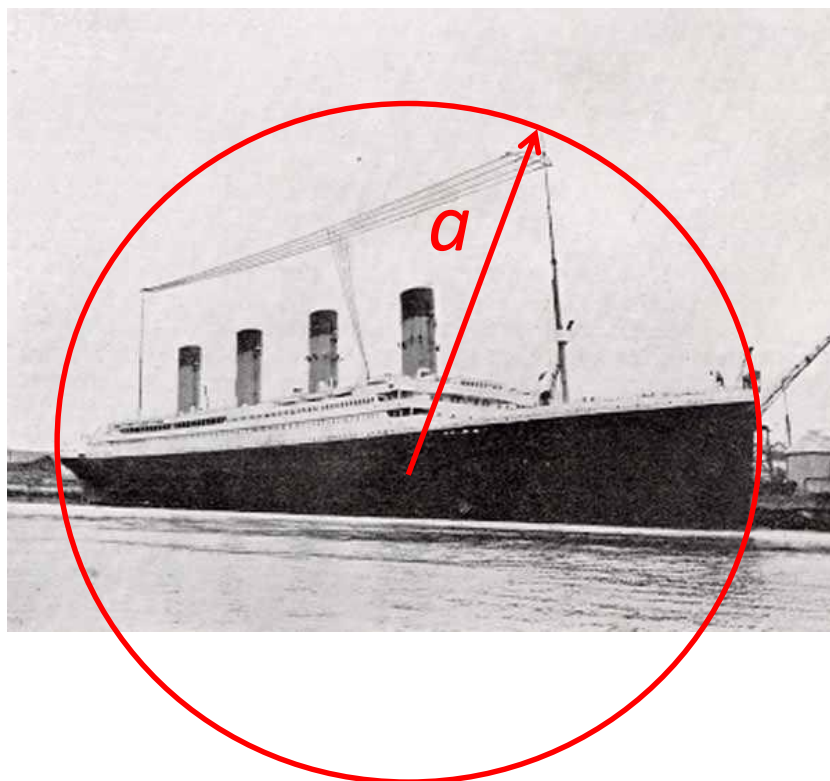
$$H_\phi = \sin\theta \left(\frac{j}{kr^2} - \frac{1}{r} \right) e^{-jkr}$$



Elektricky malé antény

Poloměr opsané koule – nutno uvažovat i vodivou (zemní) desku antény (tečou po ní proudy)

$$ka < 0,5$$



Činitel jakosti

Činitel jakosti se používá pro popis kvality obvodu jako **rezonátoru**. Fyzikální definice

$$Q = 2\pi \frac{W_{ak}}{W_{ztr}} \text{ resp. } Q = \omega \frac{W_{ak}}{P_{ztr}}$$

W_{ak} - střední hodnota **akumulované** energie oscilující soustavy (EM pole: $W_{ak} = W_e + W_m$)

W_{ztr} - střední hodnota **ztracené** energie resp. P_{ztr} je ztracený výkon za periodu

Pro **antény** se používá upravený vztah

$$Q = \begin{cases} \frac{2\omega W_e}{P_{vyz}}, W_e > W_m \\ \frac{2\omega W_m}{P_{vyz}}, W_m > W_e \end{cases}$$

k doladění antén do rezonance:

elektrického typu (dipóly) - indukčnost L

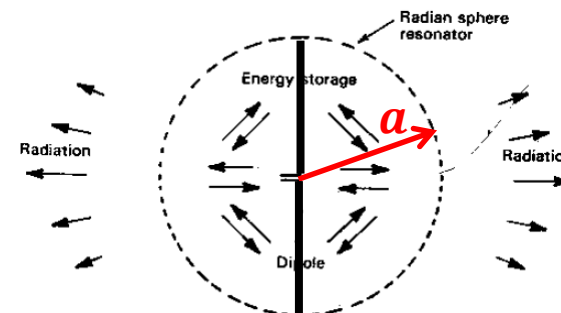
magnetického typu (smyčky) - kapacita C

W_e resp. W_m – střední hodnota **akumulované** (nešířící se) energie elektrického resp. magnetického pole,

P_{vyz} vyzářený výkon.

U **antén** požadujeme co **největší vyzářenou** energii,

tj. **malou hodnotu** činitele jakosti.



Činitel jakosti a šířka pásma

Činitel jakosti Q se používá k odhadu **šířky pásma antény BW** :

$$BW \approx \frac{1}{Q} \quad \text{pro } Q \gg 1$$

kde BW je **relativní šířka pásma** (fractional bandwidth), tj. $BW = \frac{2(f_2 - f_1)}{f_2 + f_1}$

Uvažujeme-li u antén **vyzařovací účinnost η** , pak

$$BW\eta \approx \frac{1}{Q}$$

Vztah zohledňující poměr stojatých vln PSV (Yaghjian, Best, 2005)

$$BW \approx \frac{PSV - 1}{Q\sqrt{PSV}}$$

pro $PSV = 5,828$ (pokles na ½ výkonu)

$$BW_{3dB} \approx \frac{2}{Q} \quad \text{pro } Q \gg 1$$

Principiální omezení elektricky malých antén

Fyzikální význam principiálního limitu - pro elektricky malou anténu daného rozměru a objemu (tvaru) existuje **fyzikální omezení** na **maximální šířku pásma** resp. **minimální činitel jakosti**, které nemůže být překročeno.

Přístupy:

- **náhradní RLC obvod** (1948 Chu, 2006 Thal),
- **intenzity polí** (1964 Collin a Rothschild, 1996 McLean)
obojí uvažují kulovou geometrii zářiče, **nezohledňují** vliv **tvaru** zářiče na mezní limit
vs.
- **zdrojové veličiny** (2003 Geyi, 2007-09 Gustafsson, 2010 Vandenbosh):
polarizovatelnost, nábojové/proudové hustoty – pracují s konkrétním **tvarem** zářiče, umožňují dokonce určit **optimální proudové (nábojové) rozložení**

Používaná **zjednodušení**:

- zářič je malý vzhledem k vlnové délce ($ka \rightarrow 0$),
- uvažuje se jedna (základní) rezonance,
- TM (dipól) nebo TE (smyčka) mód příp. oba.

Principiální omezení elektricky malých antén

Chu (1948) odvodil dolní mez vyzařovacího činitele jakosti Q . Uvažoval:

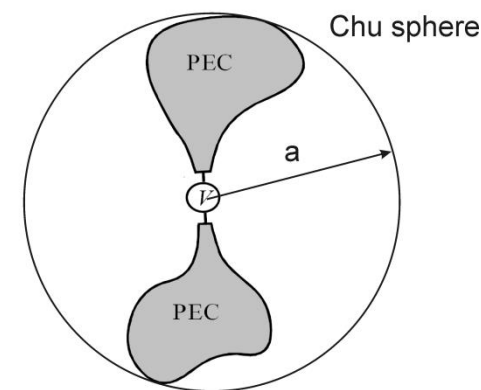
- kouli o **poloměru a** obklopující malou všesměrovou vertikálně polarizovanou anténu
- reaktivní pole **uvnitř** koule považoval **nulové** (*Chuova* anténa).

Složky pole **vně** koule se šířících TM_{n0} vln vyjádřil pomocí **sférických** (r, θ, φ) **vlnových funkcí**.

$$H_{\varphi} = \sum_n A_n P_n^1(\cos \theta) h_n^{(2)}(kr)$$

$$E_r = -jZ_0 \sum_n A_n n(n+1) P_n(\cos \theta) \frac{h_n^{(2)}(kr)}{kr}$$

$$E_{\theta} = jZ_0 \sum_n A_n P_n^1(\cos \theta) \frac{1}{kr} \frac{d}{dr} \left(h_n^{(2)}(kr) \right)$$



A_n - konstanty určené zdrojovými veličinami

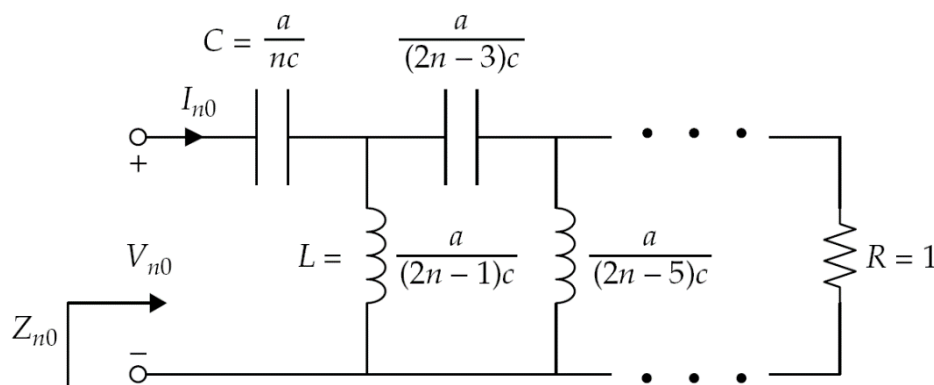
$P_n^1(\cos \theta)$ – Legendův polynom řádu $m = 1$, stupně n

$h_n^{(2)}(kr)$ - sférická Hankelova funkce druhého druhu

$Z_0 = \sqrt{\mu/\varepsilon}$ - vlnová impedance volného prostoru (resp. prostředí s μ, ε)

Principiální omezení elektricky malých antén

Rozvoji sférických vlnových funkcí přiřadil náhradní obvod – kaskádní zapojení normovaných sériových kapacitorů a paralelních induktorů zatížených (normovanou) impedancí volného prostoru



z něj odvodil normovanou vstupní impedanci odpovídající normované vlnové impedanci TM_{n0} vln pomocí rekurentního vztahu

$$Z_{n0} = \frac{j(kah_n^{(2)}(ka))'}{kah_n^{(2)}(ka)} = \frac{n}{jka} + \frac{1}{\frac{2n-1}{jka} + \frac{1}{\frac{2n-3}{jka} + \dots + \frac{1}{\frac{3}{jka} + \frac{1}{\frac{1}{jka} + 1}}}}$$



Principiální omezení elektricky malých antén

Chu vyjádřil Q módů TM_{n0} jako sumu

$$Q = \frac{2\omega W_e}{P_r} = \frac{\sum_{n=\text{liché}} |A_n|^2 \frac{n(n-1)}{2n+1} Q_n}{\sum_{n=\text{liché}} |A_n|^2 \frac{n(n-1)}{2n+1}}$$

kterou lze aproximovat výrazem

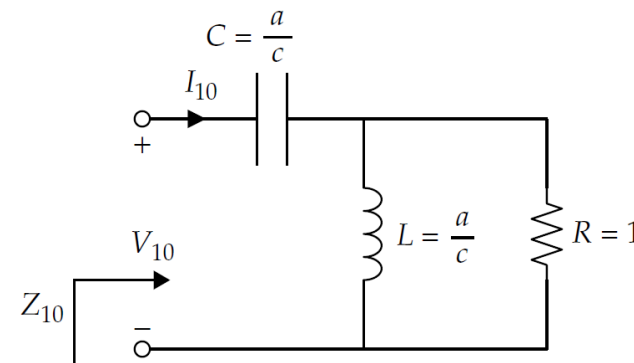
$$Q_{min, TM_{n0}} = \frac{1 + 2(ka)^2}{(ka)^3 (1 + 2(ka)^2)} \approx \frac{1}{(ka)^3} \quad \text{pro } ka \rightarrow 0 \ (a \ll \lambda)$$

Pro základní mód TM_{10} ($n = 1$) lze Q odvodit z elektrické energie akumulované v obvodu a výkonu ztraceného v rezistoru (McLean, 1996)

$$\tilde{W}_e = \frac{1}{2} C |V_C|^2 = \frac{1}{2\omega ka}$$

$$P_{rad} = \frac{1}{2} |I_R|^2 R = \frac{(ka)^2}{1 + (ka)^2}$$

$$Q_{Chu, TM_{10}} = \frac{2\omega \tilde{W}_e}{P_{rad}} = \frac{1}{(ka)^3} + \frac{1}{ka}$$



Principiální omezení elektricky malých antén

McLean (1996)

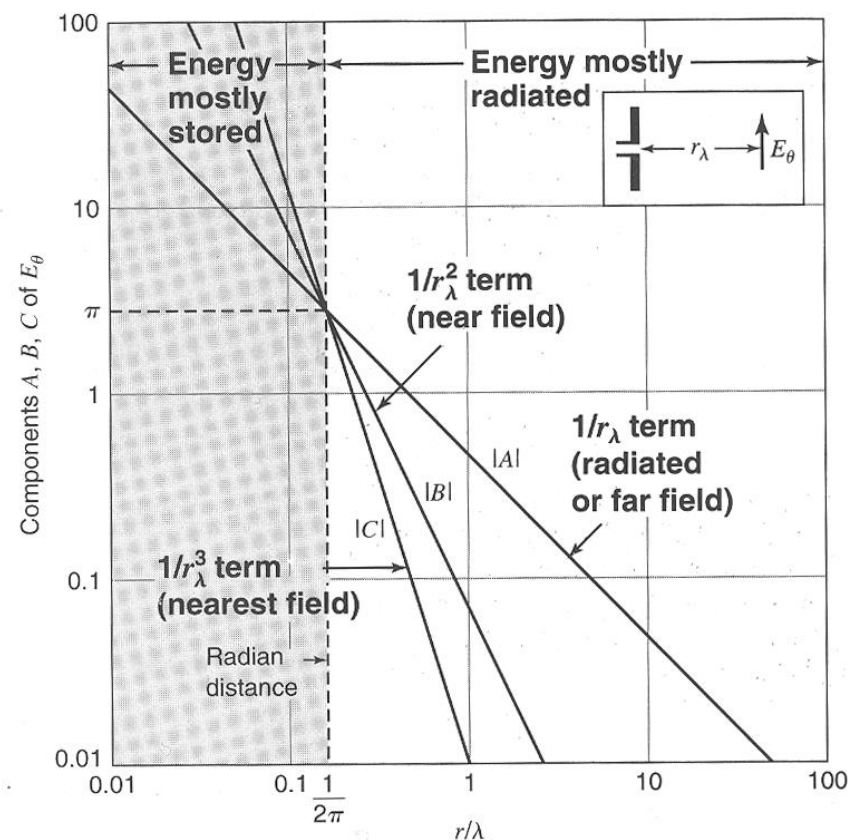
odvodil Q_{min} ze složek **intenzit elektrického** a **magnetického pole** krátkého dipólu
uvažoval základní mód TM_{01} nebo TE_{01}

Pro TM_{01} (dipól):

$$E_r = \frac{2}{\omega\epsilon} \cos \theta \left(\frac{j}{r^2} + \frac{1}{kr^3} \right) e^{-jkr}$$

$$E_\theta = \frac{1}{j\omega\epsilon} \sin \theta \left(-\frac{jk}{r} - \frac{1}{r^2} + \frac{j}{kr^3} \right) e^{-jkr}$$

$$H_\phi = \sin \theta \left(\frac{j}{kr^2} - \frac{1}{r} \right) e^{-jkr}$$



Principiální omezení elektricky malých antén

McLean (1996)

pro TM_{01} mód (dipól) vypočít **akumulovanou** hustotu el. energie \tilde{w}_e

odečtením výkonové hustoty $w_e^{zář}$ **zářivých složek intenzit polí** ($\sim 1/r$) od hustoty el. energie w_e **všech složek** ($\sim 1/r, 1/r^2, 1/r^3$)

$$\tilde{w}_e = w_e - w_e^{zář}$$

$$w_e = \frac{1}{2} \epsilon \mathbf{E} \cdot \mathbf{E}^* = \frac{1}{2} \epsilon (|E_\theta|^2 + |E_r|^2) = \dots = \frac{1}{2\omega} Z_0 \left[(\sin \theta)^2 \left(\frac{1}{k^3 r^6} - \frac{1}{kr^4} + \frac{k}{r^2} \right) + 4(\cos \theta)^2 \left(\frac{1}{k^3 r^6} + \frac{1}{kr^4} \right) \right]$$

$$w_e^{zář} = \frac{1}{2} \epsilon |E_\theta^{zář}|^2 = \dots = \frac{Z_0^2}{r^2} (\sin \theta)^2$$

$$\tilde{W}_e = \int_0^{2\pi} \int_0^\pi \int_a^\infty \tilde{w}_e r^2 \sin \theta dr d\theta d\varphi = \dots = \frac{4\pi Z_0}{3\omega} \left(\frac{1}{(ka)^3} + \frac{1}{ka} \right)$$

$$Q_{min} = \frac{2\omega \tilde{W}_e}{P_{zář}} = \frac{1}{(ka)^3} + \frac{1}{ka}$$

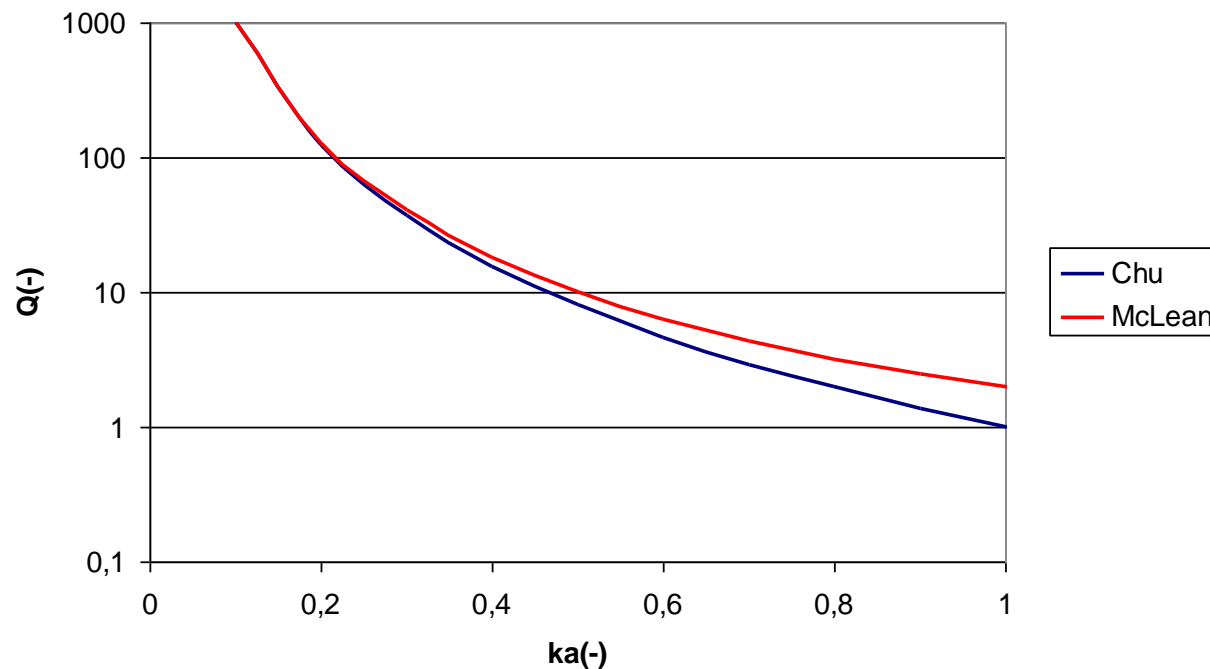
$$P_{zář} = \frac{1}{2} \int_0^{2\pi} \int_0^\pi \text{Re}(\mathbf{E} \times \mathbf{H}^*) r^2 \sin \theta d\theta d\varphi = \dots = \frac{8\pi}{3} Z_0$$

Principiální omezení elektricky malých antén

Pro velmi malé ka se výraz shoduje s výrazem odvozeným Chuem,
pro $ka = 1$ je chyba 100 % ($Q_{\text{McLean}} = 2Q_{\text{Chu}}$)

$$Q_{\text{McLean}} = \frac{1}{(ka)^3} + \frac{1}{ka} \approx \frac{1}{(ka)^3}, \quad ka \ll 1$$

$$Q_{\text{Chu}} = \frac{1 + 2(ka)^2}{(ka)^3(1 + 2(ka)^2)} \approx \frac{1}{(ka)^3}$$





Principiální omezení elektricky malých antén

Yaghjian, Best (2005) odvodili vztah mezi BW a Q s uvážením konkrétní hodnoty poměru stojatých vln PSV

$$Q(\omega) \approx \frac{PSV - 1}{BW \sqrt{PSV}}$$

Dále odvodili vztah pro určení Q z frekvenčního průběhu vstupní impedance $Z_{in}(\omega)$ získané např. EM simulátorem či měřením

$$Q(\omega) \approx \frac{\omega}{2R_{in}(\omega)} |Z'_{in}(\omega)|$$
$$|Z'_{in}(\omega)| = \sqrt{R'_{in}(\omega)^2 + \left(X'_{in}(\omega) + \frac{X_{in}(\omega)}{\omega} \right)^2}$$

Principiální omezení elektricky malých antén

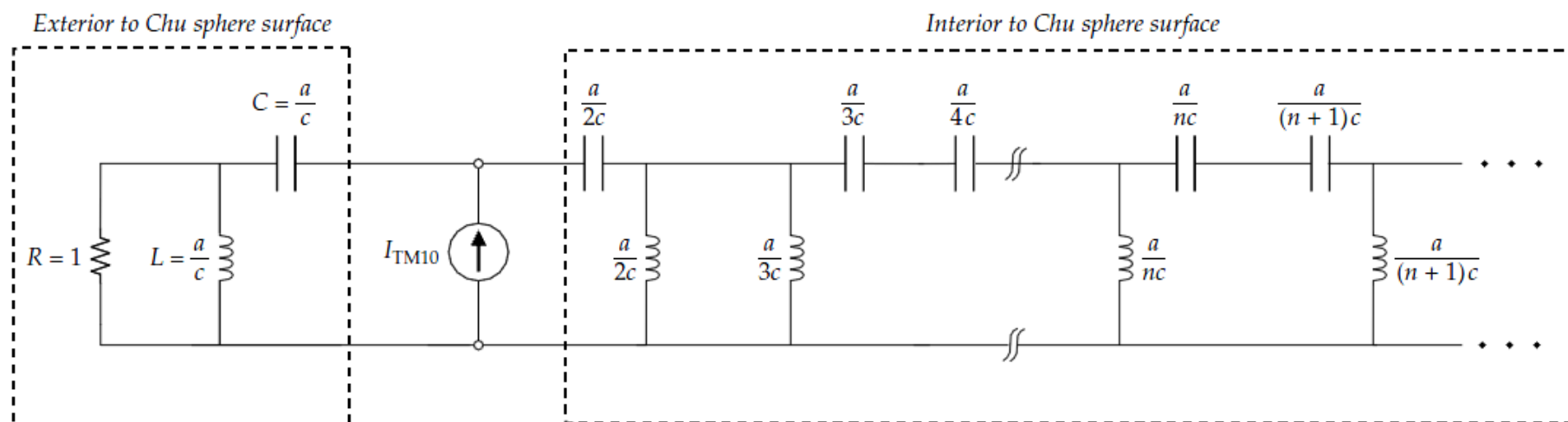
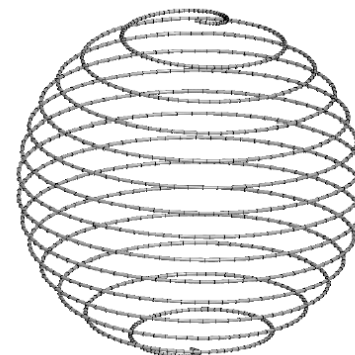
Thal (2006) uvažoval speciální případ - kulové drátové antény zahrnul **nenulovou akumulovanou energii uvnitř** objemu **koule**; z náhradního obvodu odvodil vztah (po aproximaci)

$$Q_{Thal} \approx \frac{1.5}{(ka)^3} + \frac{0.6}{ka}$$

TM₁₀ mód (dipól)

$$Q_{Thal} \approx \frac{3}{(ka)^3} + \frac{3}{ka}$$

TE₁₀ mód (smyčka)



Principiální omezení elektricky malých antén

Gustafsson a kol. (2007, 2009) odvodili mezní **limit pro D/Q** z rozptylové teorie malých částic.

Konečný výraz zohledňuje **vliv tvaru zářiče** na Q resp. BW.

Výchozím vztahem je rovnost (*sum rule, scattering identity*)

$$\int_0^\infty \sigma_{ext}(\lambda) d\lambda = \pi^2 \left(\hat{\mathbf{e}} \cdot \boldsymbol{\gamma}_e \cdot \hat{\mathbf{e}} + (\hat{\mathbf{k}} \times \hat{\mathbf{e}}) \cdot \boldsymbol{\gamma}_m \cdot (\hat{\mathbf{k}} \times \hat{\mathbf{e}}) \right), \text{ kde}$$

σ_{ext} - extinkční průřez (extinction cross section) = (rozptýlený + absorbovaný výkon)/dopadající výkon

$\hat{\mathbf{e}} = \mathbf{E}_0/|\mathbf{E}_0|$ - polarizace vlny dopadající na malou částici (anténu)

$\hat{\mathbf{k}}$ - směr šíření rozptýlené/vyzařované vlny

$\boldsymbol{\gamma}_e, \boldsymbol{\gamma}_m$ - elektrická resp. magnetická polarizovatelnost

El. polarizovatelnost - převodní veličina mezi **dipól. momentem** a dopadajícím **el. polem** $\mathbf{p} = \epsilon_0 \boldsymbol{\gamma}_e \cdot \mathbf{E}_0$

Dále platí (převédeme na anténní veličiny)

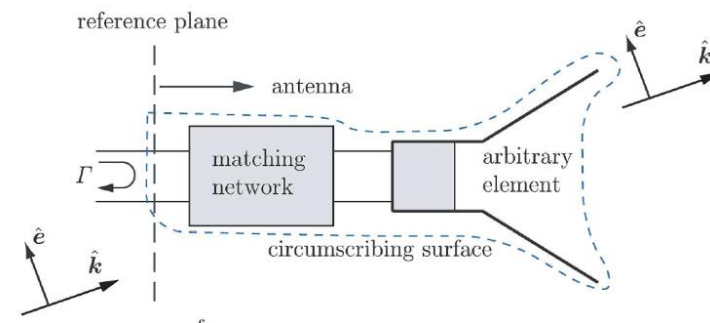
$$\sigma_{ext} = \frac{1}{\eta} \sigma_a = \frac{1}{\eta} (1 - |\Gamma|^2) \sigma_{a0} = \frac{1}{4\pi\eta} (1 - |\Gamma|^2) \lambda^2 G$$

η - absorpční účinnost ($0 < \eta \leq 1$)

σ_{a0} - odpovídá efektivní ploše A_{ef} ideálně přizp. antény

Γ - koeficient odrazu

G - zisk antény ($G = 4\pi/\lambda^2 A_{ef}$)



Gustafsson M., Sohl C., Kristensson G. Physical limitations on antennas of arbitrary shape Proc. R. Soc., 2007

Gustafsson, M. et al., Illustrations of new physical bounds on linearly polarized antennas, *IEEE Trans. AP.*, May 2009.

Principiální omezení elektricky malých antén

Uvažujme relativní frekvenční šířku pásma $BW = 2 \frac{\lambda_2 - \lambda_1}{\lambda_2 + \lambda_1}$, pak levá strana rovnice

$$\int_0^\infty \sigma_{ext}(\lambda) d\lambda \geq \frac{1}{\eta} \int_{\lambda_1}^{\lambda_2} \sigma_a(\lambda) d\lambda = \frac{1}{4\pi\eta} \int_{\lambda_1}^{\lambda_2} (1 - |\Gamma|^2) G \lambda^2 d\lambda = \frac{1}{4\pi\eta} \min\{(1 - |\Gamma|^2)G\} \int_{\lambda_1}^{\lambda_2} \lambda^2 d\lambda$$

kde $\int_{\lambda_1}^{\lambda_2} \lambda^2 d\lambda = \dots = \lambda^3 BW \left(1 + \frac{BW^2}{12}\right) \approx \lambda^3 BW$ pro aplikace, v nichž je $BW \ll 2$

Dosazením do původního vztahu dostaneme nerovnost

$$\min\{(1 - |\Gamma|^2)G\}BW \leq \eta \frac{4\pi^3}{\lambda^3} \left(\hat{\mathbf{e}} \cdot \boldsymbol{\gamma}_\infty \cdot \hat{\mathbf{e}} + (\hat{\mathbf{k}} \times \hat{\mathbf{e}}) \cdot \boldsymbol{\gamma}_\infty \cdot (\hat{\mathbf{k}} \times \hat{\mathbf{e}}) \right), \text{ kde}$$

$\boldsymbol{\gamma}_\infty$ je vysoce-kontrastní **polarizovatelnost** (*high-contrast polarizability*) obklopujících geometrií - horní mez $\boldsymbol{\gamma}_e, \boldsymbol{\gamma}_m$; matice 3x3 se třemi reálnými vlastními hodnotami $\gamma_1 > \gamma_2 > \gamma_3$.

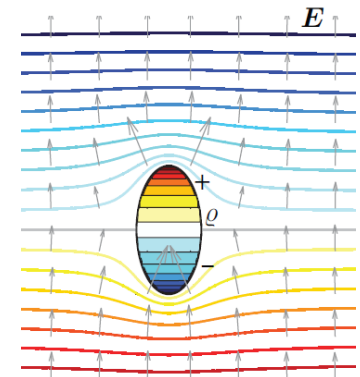
$\boldsymbol{\gamma}_\infty \cdot \hat{\mathbf{e}} = \int_S \mathbf{r} \rho(\mathbf{r}) dS$, kde **integrál** představuje **dipólový moment**,
 $\rho(\mathbf{r})$ je povrchová nábojová hustota
 vybuzená jednotkovým vnějším polem $\mathbf{E}_0 = 1$

Dále lze upravit

$$\min\{(1 - |\Gamma|^2)G\}BW \leq \eta \frac{4\pi^3}{\lambda^3} (\gamma_1 + \gamma_2)$$

Za předpokladů $BW \approx 2/Q$ a základní rezonance dostaneme

$$\frac{D}{Q} \leq \eta \frac{k^3}{2\pi} (\gamma_1 + \gamma_2)$$

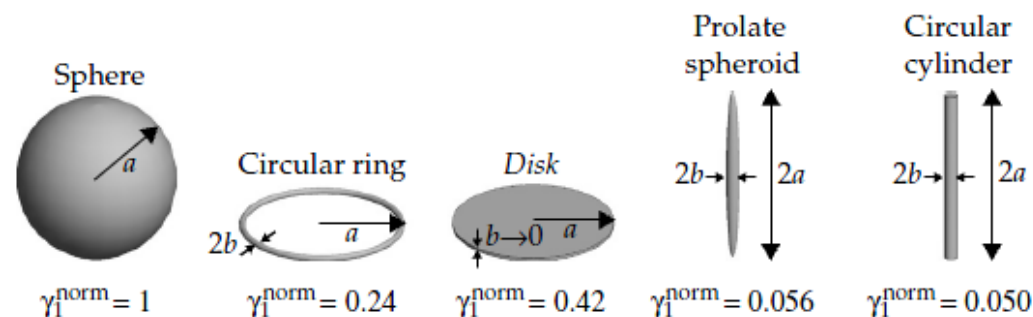


Principiální omezení elektricky malých antén

Použití pro (elektricky) **malé antény**:

- dokonale vodivé (PEC) a nemagnetické materiály ($\gamma_m = 0$ resp. $\gamma_2 = 0$)
- normovaná vlastní hodnota polarizovatelnosti $\gamma_{1,\text{norm}} = \gamma_1 / (4\pi a^3)$
- $D = 1,5$ pro zářiče se (jednou) základní rezonancí
- $\eta = 0,5$ (absorpční účinnost), numericky ověřená na mnoha případech malých antén

$$Q_{\min} = \frac{1,5}{(ka)^3 \gamma_{1,\text{norm}}}$$



Hodnoty **polarizovatelnosti** γ pro základní 3D geometrické tvary existují v **analytickém** tvaru.

Př. sférická geometrie: $\gamma_1 = 4\pi a^3 \Rightarrow \gamma_1^{\text{norm}} = 1$

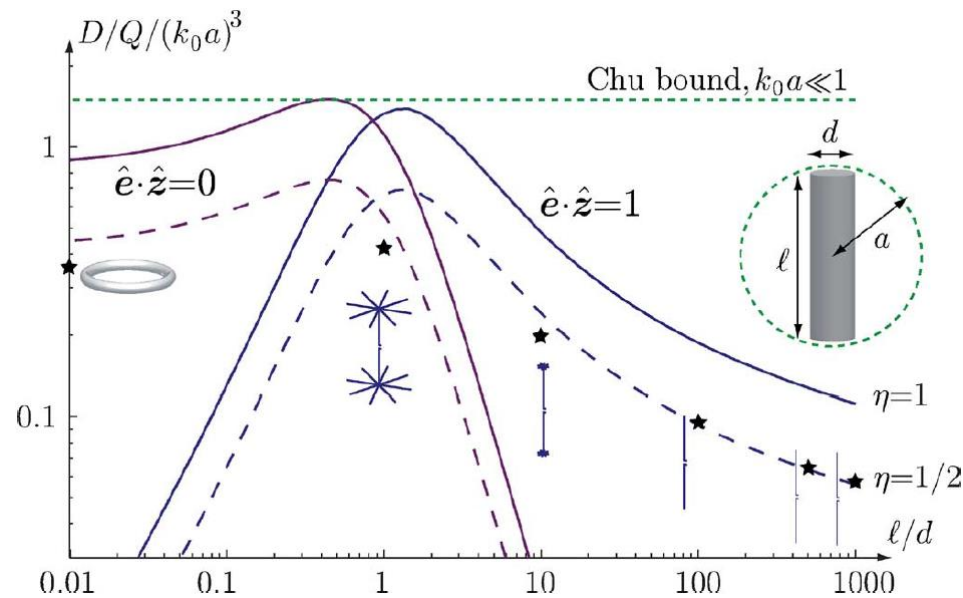
$$Q_{\min} = \frac{1,5}{(ka)^3}$$

- shoduje se s výrazem Thala pro $ka \rightarrow 0$ ($a \ll \lambda$)
- pro **tenký dipól** je Q_{\min} až 20x větší, tj. BW_{\max} 20x menší

Principiální omezení elektricky malých antén

Použití Gustafssonova limitu pro základní geometrické tvary zářičů

- válcová geometrie, $\hat{\mathbf{z}}$ - osa symetrie

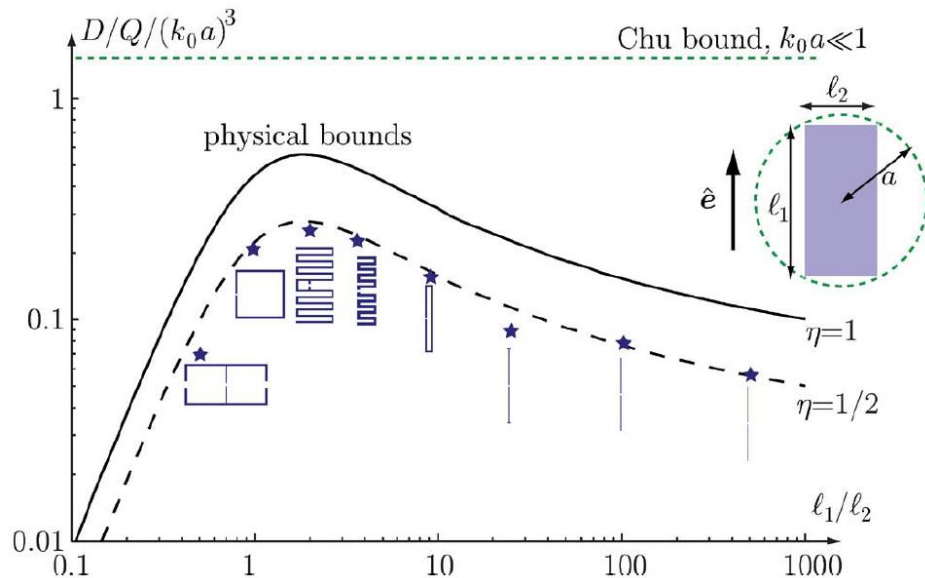


ℓ/d	0.01	1	10	100	500	1000
$\gamma_{\rho\rho}/a^3$	4.2	1.7	0.01	0.00	0.00	0.00
γ_{zz}/a^3	0.00	5.1	2.3	1.2	0.81	0.71
γ_1/γ_c	0.75	0.62	0.75	1	1	1
$k_0 a$	1.08	0.63	1.17	1.48	1.51	1.51
D	2.30	1.50	1.61	1.64	1.64	1.64
η	0.51	0.50	0.51	0.51	0.51	0.51
Q_{imp}	5	14	5	5	7	8
Q_{prg}	5	14	5	5	7	8
Q_{Chu}	1.3	5.5	1.5	1	1	1

Principiální omezení elektricky malých antén

Použití Gustafssonova limitu pro základní geometrické tvary zářičů

- planární geometrie



l_1/l_2	0.5	1	2	3.6	9	25	100	500
γ_1/a^3	1.1	2.4	3.3	2.9	1.9	1.1	1.0	0.7
γ_2/a^3	2.7	2.4	1.1	0.4	0.1	0.0	0.0	0.0
γ_1/γ_r	0.89	0.89	0.95	0.97	0.94	0.76	1	1
$k_0 a$	0.82	1.30	0.48	0.72	1.44	1.43	1.49	1.51
D	1.39	2.23	1.54	1.55	1.47	1.63	1.65	1.64
η	0.41	0.51	0.48	0.49	0.48	0.51	0.51	0.51
Q_{imp}	36	5	55	18	3	6	6	8
Q_{prg}	36	5	56	18	3	6	6	8
Q_{Chu}	3	1	11	2	1	1	1	1

Principiální omezení elektricky malých antén

Vandenbosh (2009-10) určil W_e , W_m , P_{rad} a odvodil mezní limit Q_{lim} jako funkce proudové (nábojové) hustoty pro libovolné tvary zářičů

$$\begin{aligned}\tilde{W}_e^{vac} &= \frac{1}{16\pi\omega^2\epsilon_0} \left(\int_V \int_V \nabla_1 \cdot \mathbf{J}(\mathbf{r}_1) \nabla_2 \cdot \mathbf{J}^*(\mathbf{r}_2) \frac{\cos(kr_{21})}{r_{21}} dV_1 dV_2 \right. \\ &\quad \left. - \frac{k}{2} \int_V \int_V (k^2 \mathbf{J}(\mathbf{r}_1) \cdot \mathbf{J}^*(\mathbf{r}_2) - \nabla_1 \cdot \mathbf{J}(\mathbf{r}_1) \nabla_2 \cdot \mathbf{J}^*(\mathbf{r}_2)) \sin(kr_{21}) dV_1 dV_2 \right) \quad (1.44)\end{aligned}$$

$$\begin{aligned}\tilde{W}_m^{vac} &= \frac{1}{16\pi\omega^2\epsilon_0} \left(k \int_V \int_V \mathbf{J}(\mathbf{r}_1) \cdot \mathbf{J}^*(\mathbf{r}_2) \frac{\cos(kr_{21})}{r_{21}} dV_1 dV_2 \right. \\ &\quad \left. - \frac{k}{2} \int_V \int_V (k^2 \mathbf{J}(\mathbf{r}_1) \cdot \mathbf{J}^*(\mathbf{r}_2) - \nabla_1 \cdot \mathbf{J}(\mathbf{r}_1) \nabla_2 \cdot \mathbf{J}^*(\mathbf{r}_2)) \sin(kr_{21}) dV_1 dV_2 \right) \quad (1.45)\end{aligned}$$

$$P_{rad}^{vac} = \frac{1}{8\pi\omega\epsilon_0} \left(\int_V \int_V (k^2 \mathbf{J}(\mathbf{r}_1) \cdot \mathbf{J}^*(\mathbf{r}_2) - \nabla_1 \cdot \mathbf{J}(\mathbf{r}_1) \nabla_2 \cdot \mathbf{J}^*(\mathbf{r}_2)) \frac{\sin(kr_{21})}{r_{21}} dV_1 dV_2 \right) \quad (1.46)$$

Pozn. Rovnice kontinuity: $\nabla \cdot \mathbf{J} = -j\omega\rho$

detailněji v přednášce doc. Hazdry

Přehled principiálních limitů pro Q_{\min}

pro $ka \rightarrow 0$

Q_{\min}	Autor	Pozn.
$\frac{1}{(ka)^3} + \frac{1}{ka}$	Chu, McLean	TM (dipól) nebo TE (smyčka) mód
$\frac{1}{2} \left(\frac{1}{(ka)^3} + \frac{2}{ka} \right)$	McLean	TM a TE mód elementárního dipólu
$\frac{1.5}{(ka)^3}$	Thal	Proud na povrchu Chuovy koule, TM mód
$\frac{3}{(ka)^3}$	Thal	Proud na povrchu Chuovy koule, TE mód
$\frac{1}{(ka)^3}$	Thal	Proud na povrchu Chuovy koule, TE a TM mód
$\frac{1.5}{(ka)^3} \gamma_{1,\text{norm}}$	Gustafsson	Směrovost $D = 1.5$; absorpční účinnost $\eta = 0.5$; normovaná vlastní hodnota polarizovatelnosti $\gamma_{1,\text{norm}} = \gamma_1 / (4\pi a^3)$ zohledňuje nekulový tvar

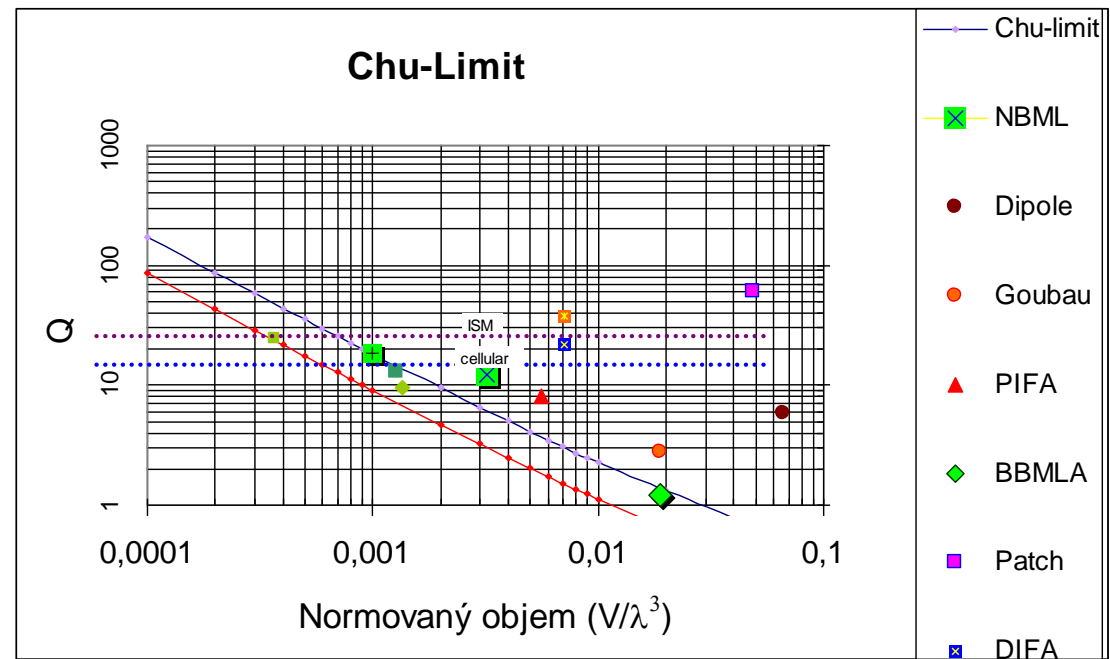
Q versus V/λ^3 antén

- Objem antény V (místo ka) lze vztáhnout k šířce pásma BW a normovat k λ^3

$$Q = \frac{1}{BW} = \frac{1}{6\pi^2 \frac{V}{\lambda^3}} + \frac{1}{\frac{2\pi}{\lambda} \left(\frac{3}{4\pi}\right)^{1/3} V^{1/3}}$$

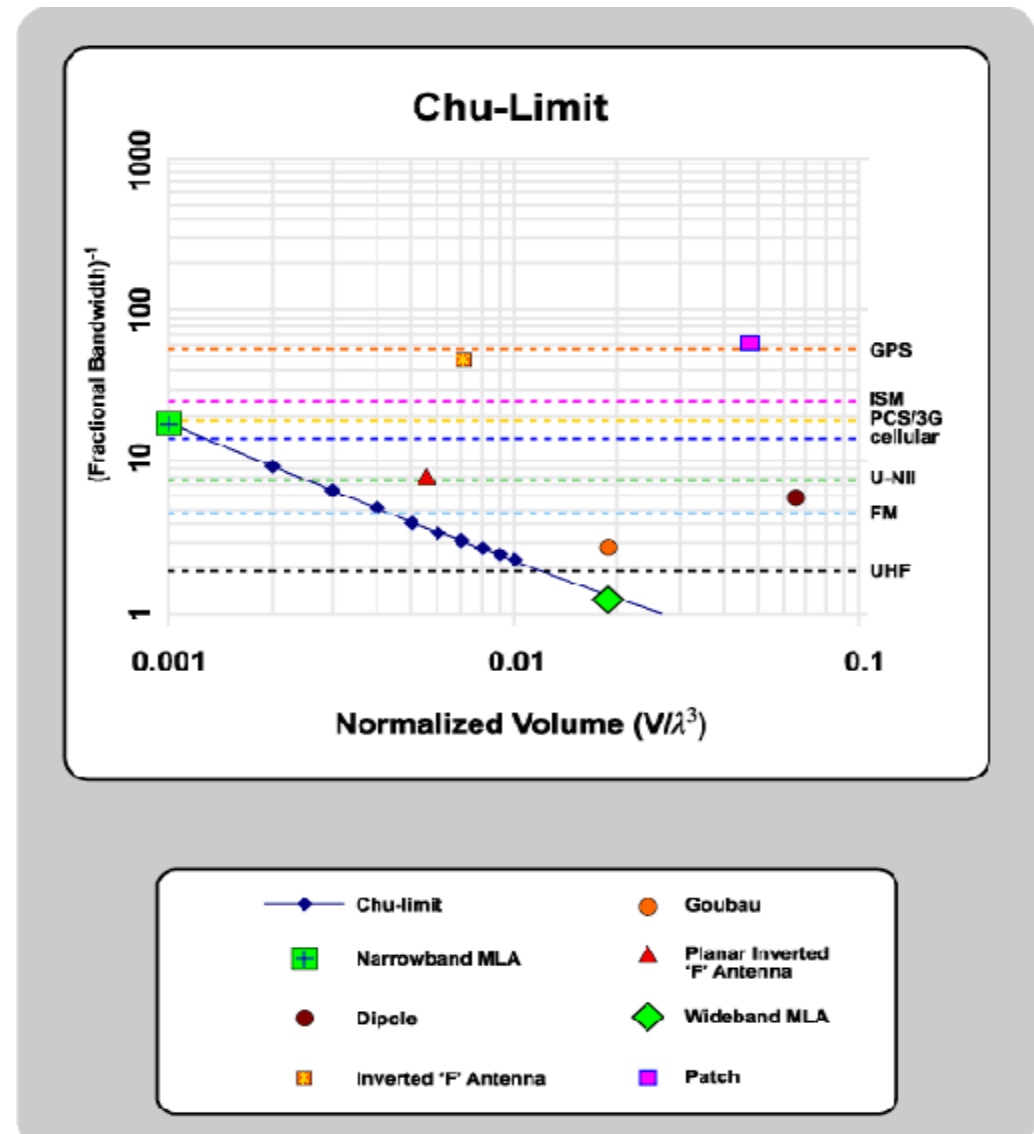
- Q antén se 100% účinností (bezeztrátové) je nad Chuovým limitem
- Nižší účinnost $\eta < 100\%$
 - umožňuje dosáhnout větší šířky pásma při dané velikosti antény nebo
 - umožňuje zmenšit anténu při dané šířce pásma

$$BW\eta \approx \frac{1}{Q}$$



Mezní/minimální objem pro anténu o požadované BW

- Šířka pásma PCS: 1850-1990 MHz
 $BW = 1990 - 1850 = 140 \text{ MHz}$
- $Q \sim 1/BW = 1/(\frac{2(f_2-f_1)}{f_2+f_1}) =$
 $= (1990+1850)/2/140 = 13,7$
- Nejmenší **potřebný relativní objem** pro **dané Q** pro 100 % účinnost z grafu:
 $V_{\min}/\lambda^3 = 0,0015$
 $(\lambda = 3 \times 10^8 / 1920 \times 10^6 = 156 \text{ mm})$
- $V_{\min} \sim 5600 \text{ mm}^3$ nebo koule o poloměru 11 mm
- Objem antény** při účinnosti $\eta = 77 \%$
 $V = 25 \times 20 \times 8 \text{ mm} = 4000 \text{ mm}^3$



Principiální omezení zisku

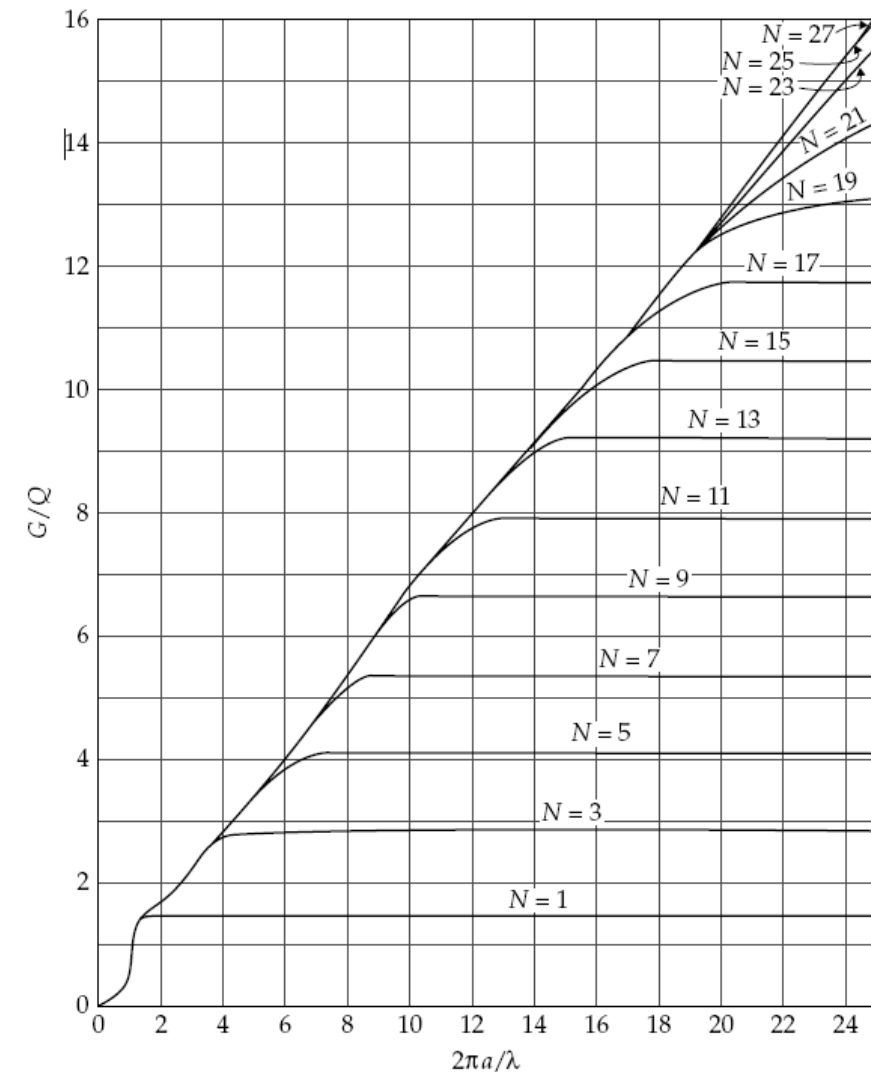
Chu (1948) – vyšetřoval limit G/Q , výsledek: sumační vztah + grafické znázornění

$$G\left(\theta = \frac{\pi}{2}\right) = \frac{4\pi |E_\theta|^2}{\int \int |E_\theta|^2 \sin\theta d\theta d\varphi} \Bigg|_{\theta=\frac{\pi}{2}}$$

$$= \frac{\left| \sum_{n=1, \text{odd}}^N A_n (-1)^{\frac{n+1}{2}} P_n^1(0) \right|^2}{\sum_{n=1, \text{odd}}^N |A_n|^2 \frac{n(n+1)}{2n+1}}$$

$$Q_n \sum_{n=1, \text{odd}}^N |A_n|^2 \frac{n(n+1)}{2n+1} = \sum_{n=1, \text{odd}}^N \left\{ |A_n|^2 \frac{n(n+1)}{2n+1} Q_n \right\}$$

N	1	3	5 N
$G_{\max} (\theta = \pi/2)$	1.5	3.81	4.10 $2N/\pi$



Principiální omezení zisku/směrnosti

Harrington (1960) – použil Chuův sférický rozvoj vlnových funkcí pro určení limitu pro zisk v závislosti na ka

$$G = (ka)^2 + 2ka$$

Gustafsson (2007, 2009) – mezní limit pro D/Q z rozptylové teorie malých částic

$$\frac{D}{Q} \leq \eta \frac{k^3}{2\pi} (\gamma_1 + \gamma_2)$$

η - absorpční účinnost ($0 < \eta \leq 1$)

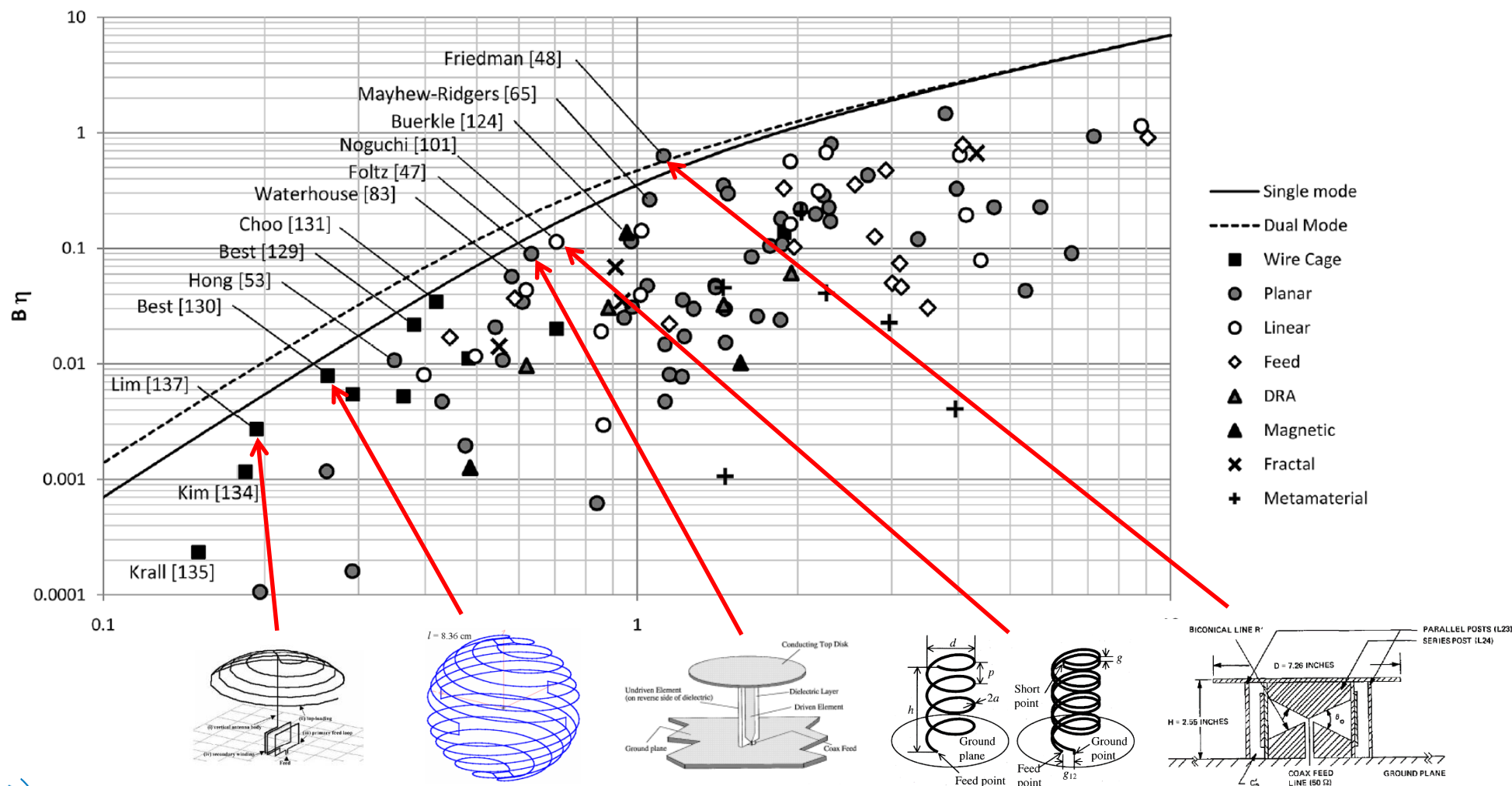
γ_1, γ_2 - vlastní hodnoty polarizovatelnosti (elektrická, magnetická)

k – vlnové číslo

Efektivní malé antény

Sievenpiper a kol. (2012)

studie 110 malých antén publikovaných do konce r. 2010 v *IEEE TAP*

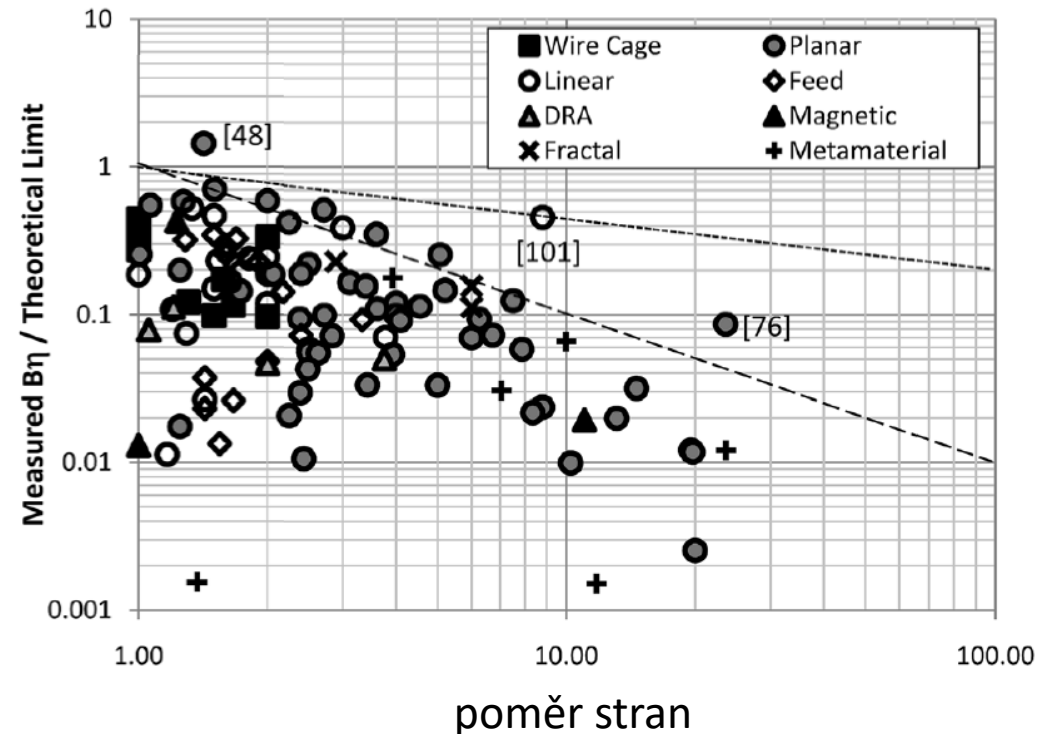
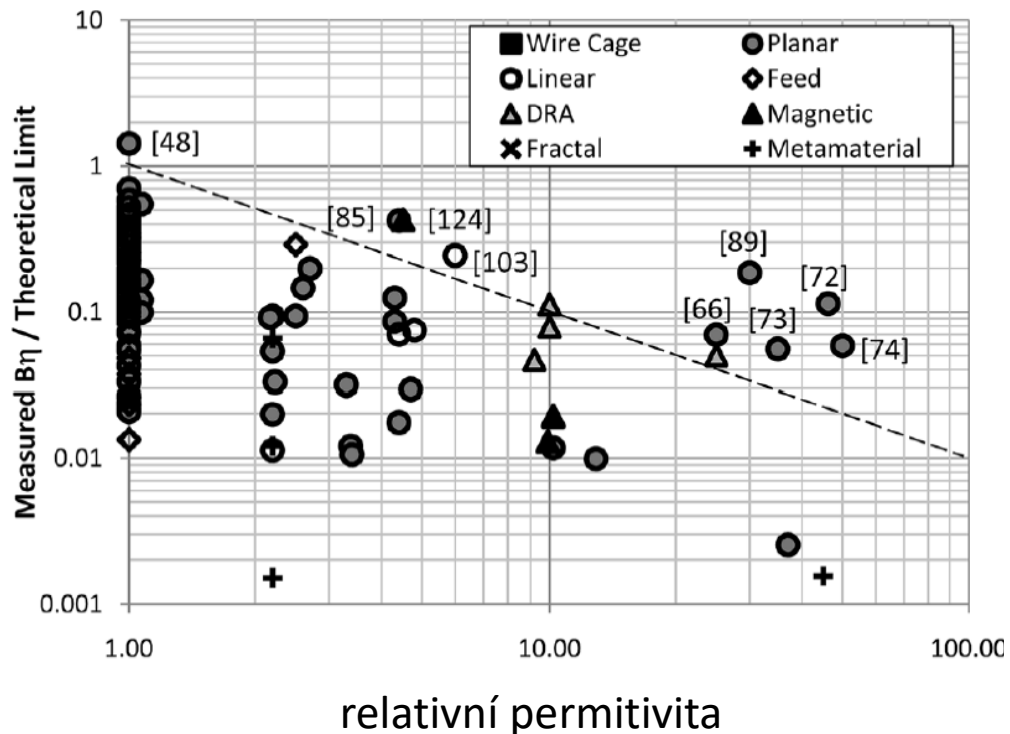


D. F. Sievenpiper, D. C. Dawson, M. M. Jacob, T. Kanar, S. Kim, J. Long, and R. G. Quarfoth, Experimental validation of performance limits and design guidelines for small antennas, *IEEE Trans. on Antennas and Propagation*, 2012.

Efektivní malé antény

Sievenpiper a kol. (2012)

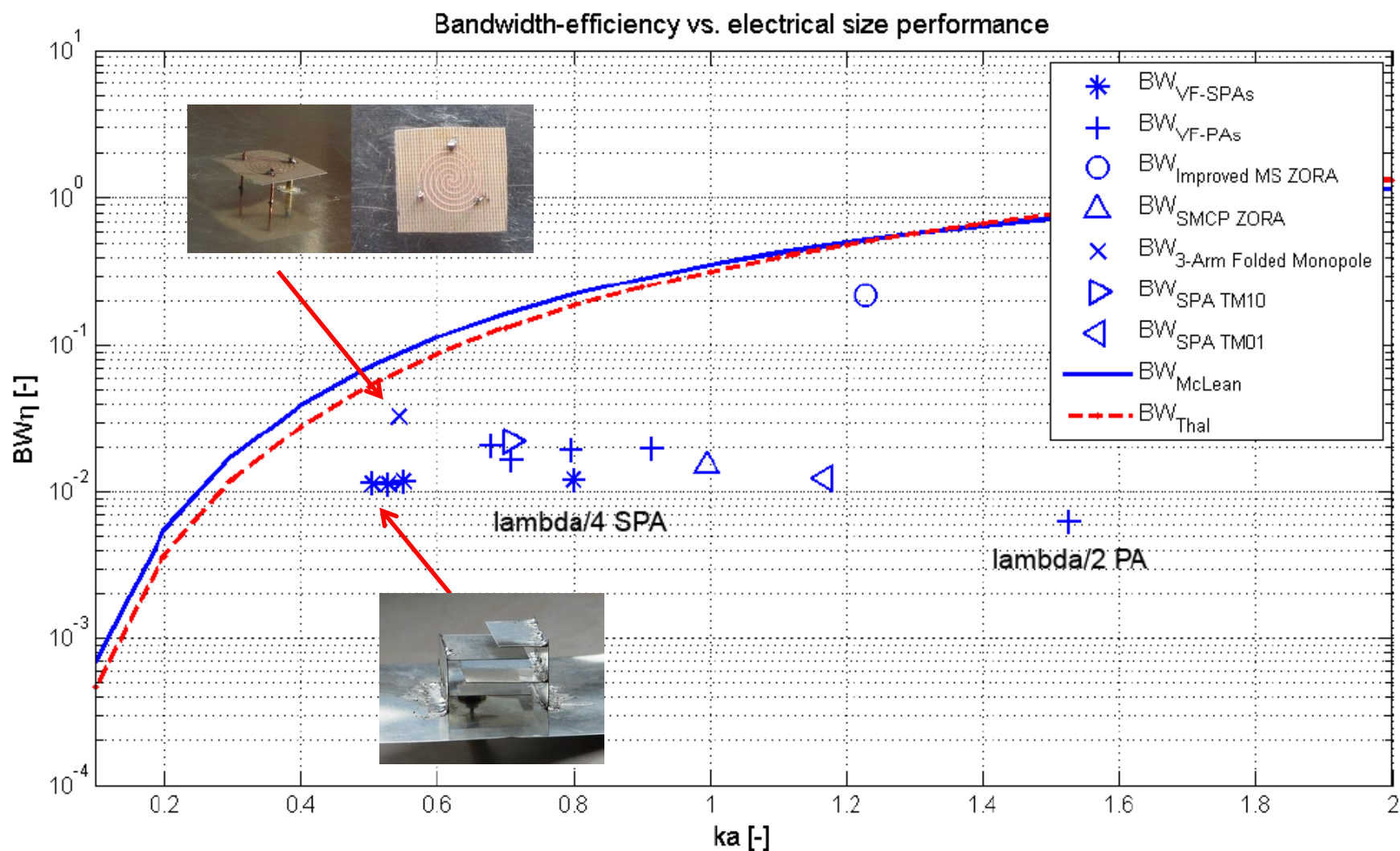
studie 110 malých antén publikovaných do konce r. 2010 v *IEEE TAP*



- Tvary zářičů typu „wire cage“ (drátěná klec) vykazovaly nižší Q (vyšší BW)
- Dielectrické rezonátorové antény vykazovaly horší $BW\eta$
- Fraktálové a metamateriálové antény nevykazují žádné výhodnější vlastnosti než konvenční antény

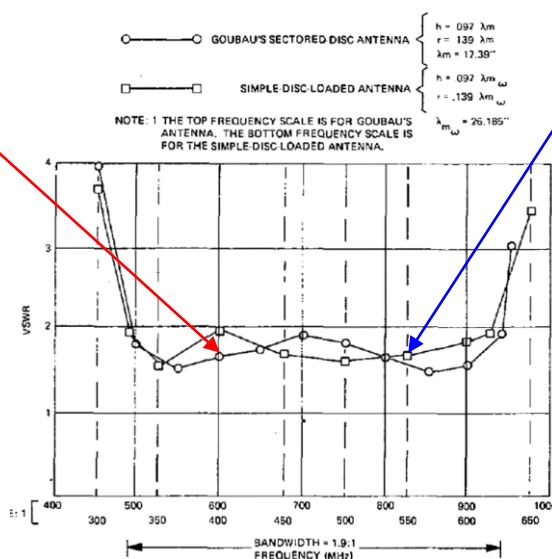
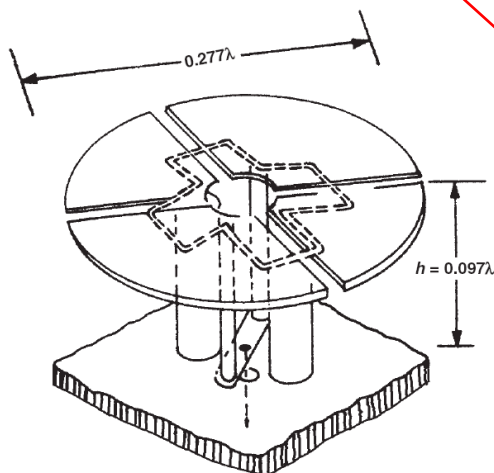
Efektivní malé antény

Polívka, Holub, Vrba (2009 - 2012)

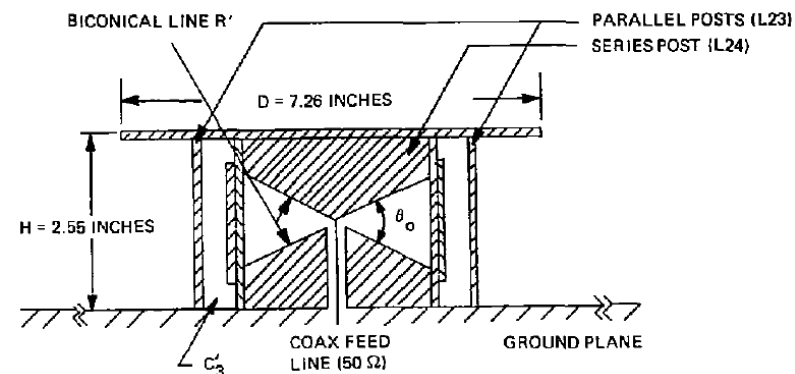


Efektivní malé antény

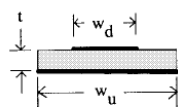
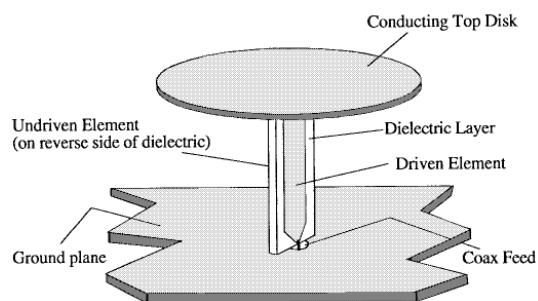
Goubau (1976)



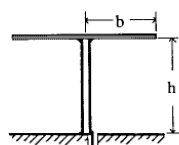
Friedman (1985)



Foltz (1998)

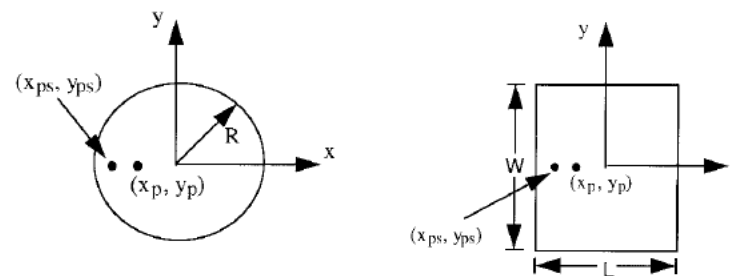


Cross section of vertical element

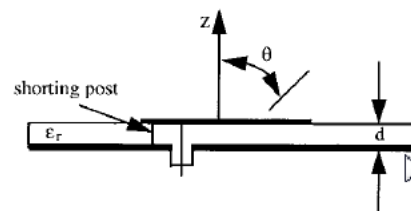


Side view

Waterhouse (1998)



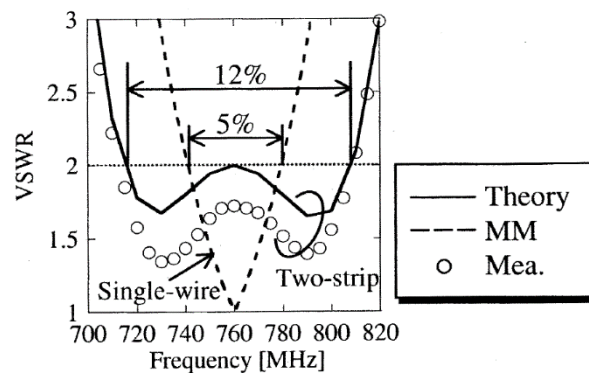
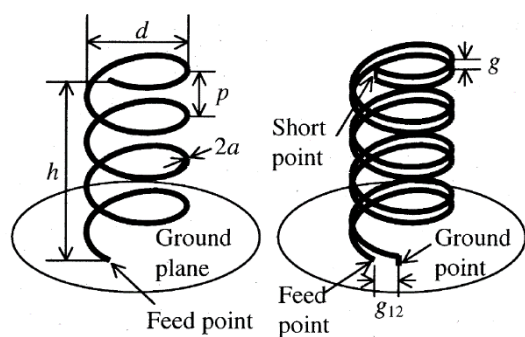
(a)



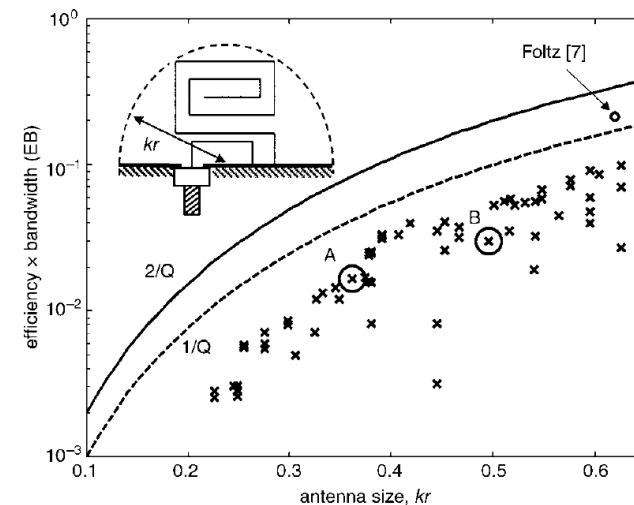
(b)

Efektivní malé antény

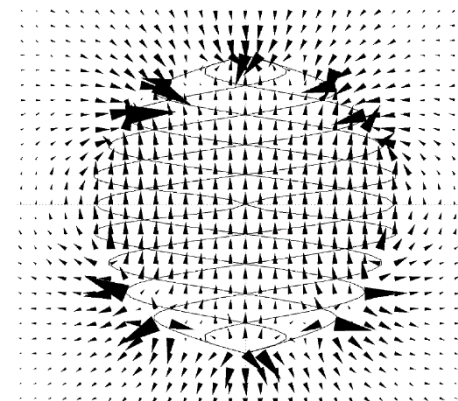
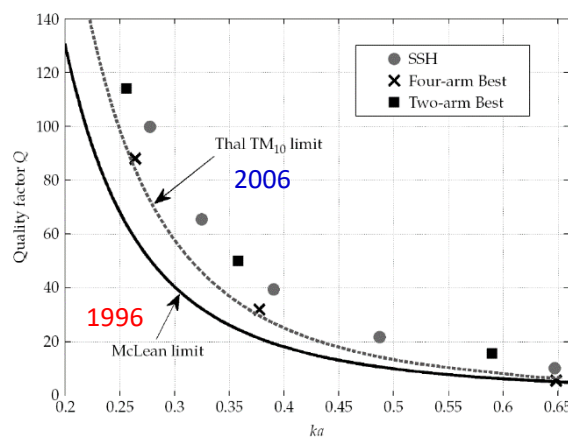
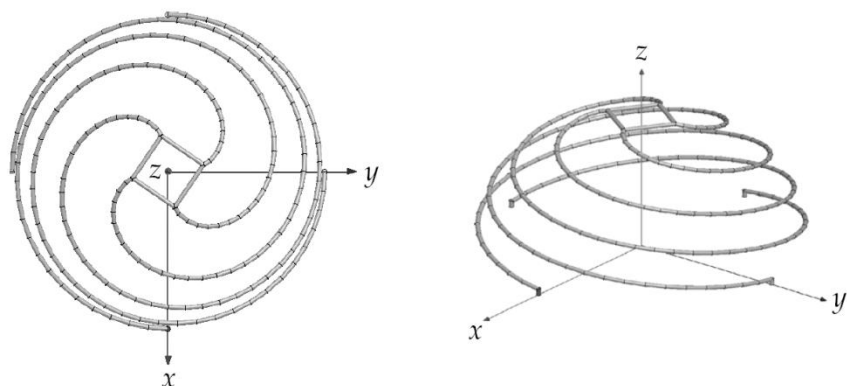
Noguchi (2003)



Choo (2003)



Best (2004)



Shrnutí (části I.)

Doporučení pro návrh topologie (elektricky) malých antén:

- Pro přiblížení k Q_{\min} je nejlepší **kulová geometrie** příp. **kvádr/válec** s poměrem $h/s \sim 1$ až 2 ;
- Větší **štíhlost** útvaru výrazně **zvyšuje Q** (snižuje BW)
- **Proudy/náboje** „vytlačte“ ideálně **k povrchu** daného útvaru (Bestova sférická šroubovice)
- Pro realističtější **odhad dosažitelného Q_{\min}** resp. BW_{\max} jiných než kulových geometrií (krychle, kvádr, válec, ..) používejte přístupy založené použití **zdrojových veličin** (polarizovatelnost, proudová/nábojová hustota)
- Vybuzení módu **TM_{10} (dipól)** dává o něco **nižší Q** než mód **TE_{10} (smyčka)**; vybuzení obou módů dává nižší Q než v případě jednoho módu
- Pro **rozšíření BW** lze použít **vícemódových** zářičů (s pasivně vázanými prvky, viz Goubau, Choo)
- Pro antény zhotovené z **nemagnetických** materiálů **používejte Thalův limit** (zohledňuje pole uvnitř), je pro módy TM_{10} a TE_{10} cca 1,5x resp. 3x vyšší než absolutní Chuův limit $1/(ka)^3 + 1/ka$
- **Teoretický (Chuův) limit** poskytuje **dobrý odhad** mezní šířky pásma i pro **antény střední i větší velikosti** ($ka > 0,5$)

Další literatura

- Hansen, R. C., *Electrically small, superdirective, and superconducting antennas*, Hoboken, N. J.: Wiley-Interscience, 2006.
- Miron, D., *Small antenna design*, Oxford: Elsevier, 2006
- Volakis, J. L., Chen, C. C., Fujimoto, K., *Small antennas: miniaturization techniques & applications*, New York: McGraw-Hill, 2010
- IEEEExplore – archív vědeckých článků